

九州大学 正員 椎 東一郎

〃 平野 宗夫

〃 学生員 田中 耕一

### 1. 緒言

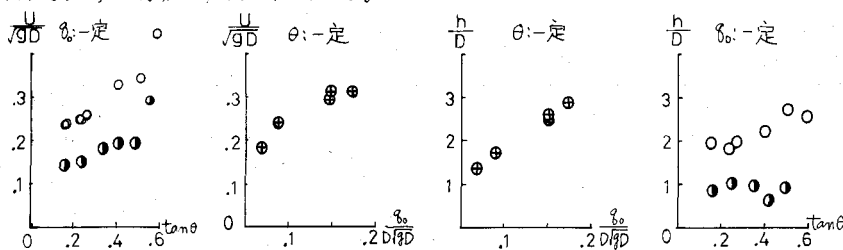
前報では土石流に関する研究の一歩として渓流に発生する堆積砂の崩壊の機構について述べたが、本文では、堆積砂れきが波状にもり上りながら流下する現象について若干の実験を行い、その移動機構について考察した。

### 2. 実験装置と方法

実験に用いた水路は巾20cm、深さ30cm、長さ4m、のアクリライト製でメサライトを敷き底面に同じ資料をはりつけた。上流端より非定常の流量を流入し砂堆を形成させその移動の様子を16mmカメラに收め、フィルムアナライザで砂堆の形状、移動速度などを測定した。

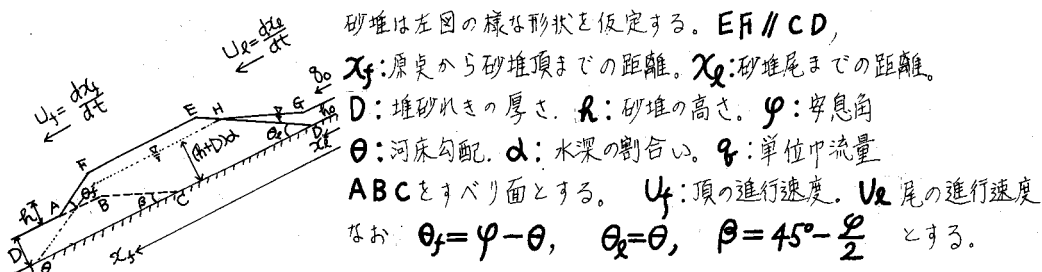
### 3. 実験結果

非定常流で上流端の堆積砂れきは波状にもり上り砂堆を形成する。形成された砂堆は高さ、移動速度ともに発達しながら移動するがその砂堆はある程度発達すると移動速度が殆んど一定となり高さもほぼ一定で流下してゆく。その時の進行速度へ水路勾配、進行速度へ流量、砂堆高へ流量、砂堆高へ水路勾配等の関係は次図の如くなる。



記号	実験条件		
	堆積の れき厚	流 量	水路 勾配
●	10cm	一定	変化
○	5cm	一定	変化
⊕	5cm	変化	一定

### 4. 理論的考察



連続式は  $DX_f = \frac{R+D}{2} \{ 2(X_f - X_l) - (R+D) \cot \theta_f \} + \frac{R^2}{2} \cot \theta_f \quad (1)$  となる。

次に直立面をABCDEFとしてX方向の運動量方程式を考える。

[出てゆく運動量]

$$AF: p_s(1-\lambda)R U_f^2$$

$$BC: p'D U_f^2$$

[入ってくる運動量]

$$ED: \{ p_s(1-\lambda)(1-\alpha) + p'D \}(R+D) U_l^2$$

ここで 入：空隙率， $\rho_s$ ：メサライトの単位質量， $\rho$ ：水の単位質量， $\rho' = \rho_s(1-\lambda) + \rho\lambda$

【検査面に働く力】

$$BC: 土圧 \frac{D}{2} \cot \beta (2R+D)(1-\lambda)(\gamma_s - \alpha' \gamma_w) (\sin \theta + K_p), \text{ ここで } \gamma_s = \rho_s g, \gamma_w = \rho g, \alpha': \text{水の割合}$$

$$\text{静水圧 } \frac{D}{2} \gamma_w \{2(R+D)\lambda - D\} \cos \theta$$

$$K_p = \frac{\cos \theta + \sqrt{\cos^2 \theta - \cos^2 \varphi}}{\cos \theta - \sqrt{\cos^2 \theta - \cos^2 \varphi}}: \text{土圧係数}$$

HD: 検査面に  $HGD$  をとり  $X$  方向の運動量より HD 面に働く力を計算すると、

$$\frac{\gamma_w R_0^2 \cos \theta + \gamma_w R_0 (R+D) \lambda \cos \theta + \rho R_0 \{1 - \frac{R_0}{(R+D)\lambda}\} (\frac{R_0}{R_0} - U_0)^2}$$

底面：乱流の剪断力は一般に  $T = \rho U_f^2 \frac{du}{dy} \frac{du}{dy}$  であるので、ここでは  $T = \rho_s K U_f^2$  とする。K: 定数

$$\text{底面に働く剪断力は } \rho_s K U_f^2 \{x_f - x_e - (R+D) \cot \theta_e\} \text{ となる。}$$

【検査面内の質量力】

$$D(x_f - \frac{D}{2} \cot \beta) \{ \gamma_s(1-\lambda) + \gamma_w \lambda \alpha' \sin \theta \}$$

以上より運動量方程式は無次元表示して

$$\begin{aligned} & \frac{\rho_s}{\rho} (1-\lambda) \frac{R}{D} \left( \frac{U_f^2}{gD} \right) - \frac{\rho'}{\rho} \frac{U_f^2}{gD} - \left\{ \frac{\rho_s}{\rho} (1-\lambda) (1-\lambda) + \frac{\rho'}{\rho} \alpha' \right\} \left( \frac{R}{D} + 1 \right) \left( \frac{U_f^2}{gD} \right) = -\frac{1}{2} \cot \beta \left( 2 \frac{R}{D} + 1 \right) (1-\lambda) \left( \frac{\rho_s}{\rho} - \alpha' \right) (\sin \theta + K_p) \\ & -\frac{1}{2} \left\{ 2 \left( \frac{R}{D} + 1 \right) \lambda - 1 \right\} \cos \theta - \frac{\rho_s}{\rho} K \frac{U_f^2}{gD} \left\{ \frac{x_f}{D} - \frac{x_e}{D} - \left( 1 + \frac{R}{D} \right) \cot \theta_e \right\} + \frac{1}{2} \left( \frac{R_0}{D} \right)^2 \cos \theta + \frac{1}{2} \frac{R_0}{D} \left( 1 - \frac{R_0}{D} \right) \lambda \cos \theta \\ & - \frac{R_0}{D} \left\{ 1 - \frac{R_0/D}{(1+R_0/D)\alpha'} \right\} \left( \frac{R_0}{R_0 g D} - \frac{U_0}{\sqrt{g D}} \right)^2 + \left( \frac{x_f}{D} - \frac{1}{2} \cot \beta \right) \left\{ \frac{\rho_s}{\rho} (1-\lambda) + \lambda \alpha' \right\} \sin \theta \dots \dots \dots (2) \text{ となる。} \end{aligned}$$

又(1)式を時間について微分すると

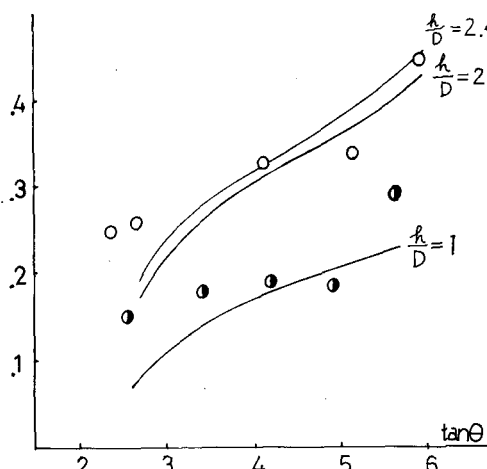
$$\frac{dx_e}{dt} = \frac{R}{R+D} \frac{dx_f}{dt} + \left\{ \frac{Dx_f}{(R+D)^2} + \frac{RD \cot \theta_e}{2(R+D)^2} - \frac{\cot \theta_e}{2} \right\} \frac{dx}{dt}$$

とおく、また  $\frac{dx_f}{dt}, \frac{dx_e}{dt} \gg \frac{dx}{dt}$  だから  $\frac{dx_e}{dt}$  を無視すると上式は  $U_e = \frac{R}{R+D} U_f \dots \dots (3)$  となる。

(1)(2)(3)式より  $U_f / \sqrt{g D} \sim R/D$  の関係が求まり、 $\alpha' = \alpha' = 0.95, K = 14.0$  及び実験より得られる  $R/D$  を代入す

ると  $U_f / \sqrt{g D}$  が計算出来る。

$\frac{U_f}{\sqrt{g D}}$



$\frac{R}{D} = 2.4$  ここで、 $D = 5 \text{ cm}$  のとき  $R/D = 2 \sim 2.4$

$D = 10 \text{ cm}$  のとき  $R/D \approx 1$  である。

左図を見ると  $\theta$  が大きい範囲では比較的よく合つているが限界勾配附近になるとはずれてくる。

### 5. むすび

今後の研究課題として、限界勾配近くのずれの原因、並びに  $R/D$  が何に規定されるかを究明しようと思う。

### 参考文献

(1) 横、平野、田中、北島「渓谷堆積土砂の崩壊について」昭和44年度西部学会論文集